



УДК 577.214.(337+622)

## ХРОМОСОМНАЯ ЛОКАЛИЗАЦИЯ ГЕНОВ *rpb9<sup>+</sup>* И *tfa1<sup>+</sup>*, КОДИРУЮЩИХ КОМПОНЕНТЫ АППАРАТА СИНТЕЗА мРНК *Schizosaccharomyces pombe*

© 2000 г. Г. В. Шпаковский<sup>#</sup>, Г. М. Баранова

Институт биоорганической химии им. М.М. Шемякина и Ю.А. Овчинникова РАН,  
117871, Москва, ГСП-7, ул. Миклухо-Маклая, 16/10

Поступила в редакцию 17.03.2000 г. Принята к печати 25.03.2000 г.

С помощью гибридизации ДНК на космидных фильтрах высокой плотности ликвидирован последний пробел в картировании генов РНК-полимеразы II делящихся дрожжей *Schizosaccharomyces pombe* – установлена хромосомная локализация гена *rpb9<sup>+</sup>*, кодирующего одну из специфических субъединиц РНК-полимеразы II. Выяснена также первичная структура трех протяженных областей хромосомы I, в результате чего были идентифицированы гены, соседствующие с *rpb9<sup>+</sup>*. Одним из них оказался ген *Sz. pombe*, кодирующий большую ( $\alpha$ -) субъединицу общего фактора инициации транскрипции TFIIЕ и названный нами *tfa1<sup>+</sup>*.

**Ключевые слова:** делящиеся дрожжи; хромосома I; гены *rpb9<sup>+</sup>*, *tfa1<sup>+</sup>*, *pro3<sup>+</sup>*, *hag1<sup>+</sup>* и *sin1<sup>+</sup>*; субъединица *Rpb9*; РНК-полимераза II; общий фактор транскрипции TFIIЕ.

### ВВЕДЕНИЕ

Аппарат синтеза информационных РНК, затрагивающего почти каждый аспект жизнедеятельности эукариотической клетки, устроен довольно сложно. Один лишь базовый аппарат транскрипции структурных генов включает в себя РНК-полимеразу II, состоящую из 12 различных субъединиц [1–3], связывающейся с ТАТА-боксом белок TBP [4] и ассоциированные с TBP в составе многокомпонентного комплекса TFIIID другие узнающие промотор и/или осуществляющие регуляторные функции белки TAFs (не менее 12 полипептидов) [5], а также общие факторы транскрипции: TFIIA (гетеротример) [5, 6], мономерный TFIIB, TFIIF (гетеротетрамер из субъединиц двух видов) [7], TFIIЕ (также гетеротетрамер из двух видов субъединиц) [5, 8] и TFIIN (по крайней мере девять субъединиц) [5, 8]. По многокомпонентности и сложности функционирующий *in vivo* комплекс РНК-полимеразы II сопоставим, вероятно, лишь с рибосомой.

Недавно было завершено клонирование и первичная структурно-функциональная характеристика кДНК и генов всех 12 субъединиц РНК-полимеразы II делящихся дрожжей *Schizosaccharomyces pombe* [9–13]. Кроме того, для 11 из этих

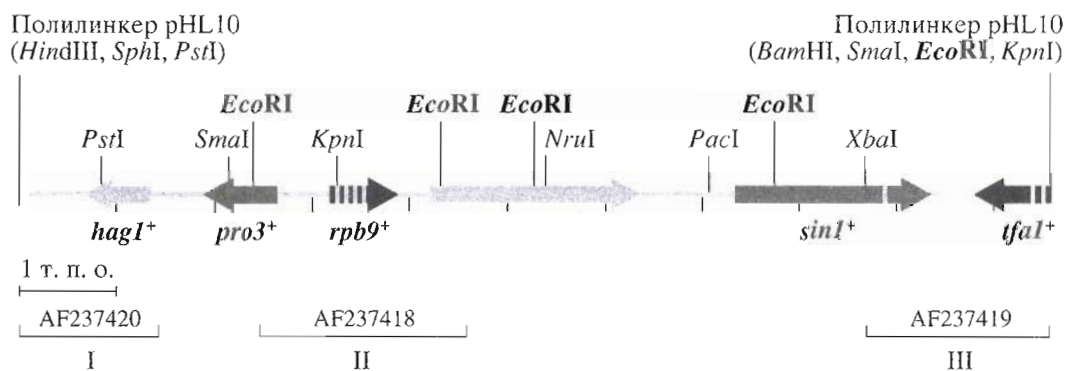
генов была установлена их хромосомная принадлежность и, благодаря быстрому прогрессу европейского проекта по секвенированию генома *Sz. pombe*, даже точное положение на физической карте генома (см. <http://www.sanger.ac.uk>). Единственным исключением оставался ген *rpb9<sup>+</sup>*, кодирующий одну из специфических субъединиц РНК-полимеразы II [10, 12, 13]. Данная работа посвящена клонированию этого гена из геномной клонотеки *Sz. pombe*, определению его хромосомной локализации, а также установлению первичной структуры трех протяженных участков ДНК в составе геномной вставки, что позволило определить гены, соседствующие с *rpb9<sup>+</sup>*.

### РЕЗУЛЬТАТЫ И ОБСУЖДЕНИЕ

#### Клонирование и хромосомное картирование гена *rpb9<sup>+</sup> Sz. pombe*

Поиск гена *rpb9<sup>+</sup>* в представительной геномной клонотеке *Sz. pombe* [14] был осуществлен с помощью ПЦР по методу последовательных разведений клонотек [15, 16] с использованием специфических праймеров, сконструированных на основе литературных данных о первичной структуре гена [10]. В результате был получен клон pYUG7 и составлена подробная рестриктная карта геномной вставки *Sz. pombe* в составе этого клона (рис. 1). Точное картирование гена *rpb9<sup>+</sup>* в

<sup>#</sup> Автор для переписки (тел.: (095) 330-65-83; факс: (095) 335-71-03; e-mail: gvs@ibch.ru).



**Рис. 1.** Физическая и генетическая карта вставки ДНК *Sz. pombe* из геномного клона pYUG7, содержащего ген *rpb9<sup>+</sup>*. Показана ориентация вставки относительно вектора клонотеки pHL10 [14], римскими цифрами отмечены три области генома *Sz. pombe*, первичная структура которых установлена в настоящей работе. Белыми вертикальными полосками на генах *rpb9<sup>+</sup>*, *tfa1<sup>+</sup>* и *sin1<sup>+</sup>* указаны положения инtronов.

пределах геномной вставки облегчалось наличием в ней уникальных участков узнавания эндонуклеаз рестрикции *KpnI*, *SmaI* и *PstI*. Кроме того, очень удобным оказалось расположение участков расщепления рестриктазы *EcoRI*: четыре относительно небольших *EcoRI*-фрагмента, которые можно довольно легко извлечь из агарозного геля, покрывают почти всю геномную вставку. Именно эти фрагменты были использованы в качестве зонда для гибридизации (см. “Эксперимент. часть”).

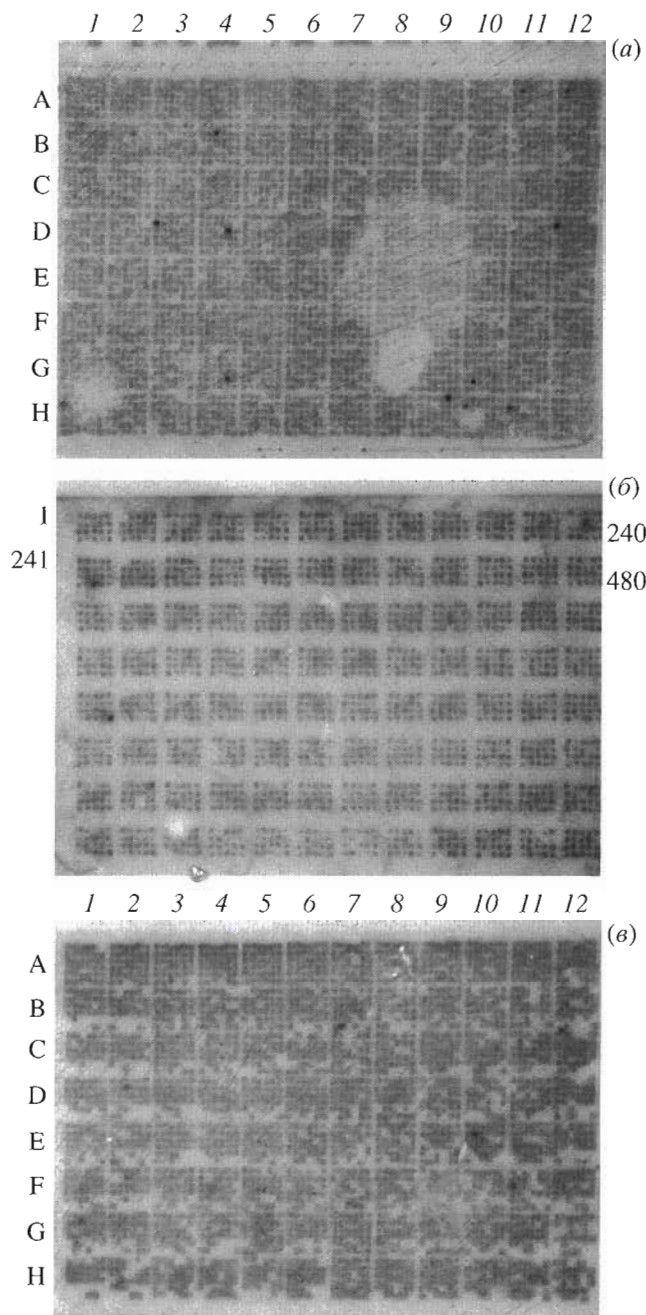
Картирование гена *rpb9<sup>+</sup>* на хромосомах *Sz. pombe* проводили с помощью гибридизации с фильтрами высокой плотности колоний трех космидных клонотек *Sz. pombe*, сконструированных с целью секвенирования генома делящихся дрожжей [17, 18] и содержащих набор клонов, покрывающих практически весь геном *Sz. pombe*. Сигналы гибридизации дали следующие космиды (см. рис. 2): p32B7, p8E10, p13F11, p9D2 (библиотека в векторе pAd10SacB11 на основе бактериофага P1 [17], третий из перечисленных клонов по данным PomBase (<http://www.sanger.ac.uk/>) принадлежит хромосоме I); c17D4, c5H9, c29G4, c7D12, c7D3; c9B4, c26G10, c7H11; c7H1, c8A11, c8A12, c10B2, c7H10 (космидная библиотека ICRF на основе вектора Lawrist4 [17], по данным PomBase все эти клоны расположены на хромосоме I); c980 и c258 (космидная библиотека CSHL на основе вектора sCos1 [18], космиды c980 также относятся к хромосоме I [18]). Полученные данные однозначно свидетельствуют, что вставка ДНК *Sz. pombe* из плазмида pYUG7, а следовательно, и ген *rpb9<sup>+</sup>* расположены на правом плече хромосомы I в составе контиги № 7 [18]. Таким образом, завершено установление хромосомной локализации всех 12 генов *Sz. pombe*, кодирующих субъединицы РНК-полимеразы II (см. таблицу).

Изолированный нами геномный клон pYUG7 оказался расположенным в районе одного из неясных мест космидных карт хромосомы I *Sz. pombe* и в настоящее время внесен в сводную карту секвенирования генома делящихся дрожжей (см. [http://www.sanger.ac.uk/Projects/S\\_pombe/Chr1.shtml](http://www.sanger.ac.uk/Projects/S_pombe/Chr1.shtml)). Это наш третий геномный клон (наряду с pYUK71 [19] и pYUL23 [20]) из заполнивших пробелы на физической карте генома *Sz. pombe* ([http://www.sanger.ac.uk/Projects/S\\_pombe/Cloneres.shtml](http://www.sanger.ac.uk/Projects/S_pombe/Cloneres.shtml)) и потому вошедший в реестр клонов, используемых для установления полной первичной структуры генома делящихся дрожжей. Все три наши плазмиды картированы на хромосоме I среди 248 клонов, покрывающих на данный момент практически всю эту хромосому ([http://www.sanger.ac.uk/cgi-bin/yeastpub/pombe\\_chr\\_status](http://www.sanger.ac.uk/cgi-bin/yeastpub/pombe_chr_status)).

#### Гены, соседствующие с *rpb9<sup>+</sup>*

Мы установили первичную структуру трех протяженных участков I, II и III геномной вставки *Sz. pombe* в составе плазмида pYUG7 (рис. 1). Помимо исходной плазмида в этой работе были использованы ее укороченные производные – pYUG7/*KpnI* и pYUG7/*PstI*. Секвенирование осуществляли по методу Сэнгера с использованием как радиоактивной, так и флуоресцентных меток (см. “Эксперимент. часть”). Анализ установленной первичной структуры областей I, II и III (номера депонирования в GenBank соответственно: AF237420, AF237418 и AF237419) позволил выявить гены *Sz. pombe*, присутствующие в составе pYUG7.

Поиск открытых рамок считывания в нуклеотидной последовательности области II с помощью программы DNA Strider [21] и их последующее сравнение с базами данных GenBank и SwissProt с использованием программы Advanced



**Рис. 2.** Авторадиограмма результатов гибридизации космидных фильтров клонотек ICRF [17] (а), CSHL [18] (б), а также клонотеки на основе бактериофага P1 [17] (в) с радиоактивно меченными *Eco*RI-фрагментами плазмида pYUG7. Буквы А–Н и цифры 1–12 определяют координаты квадратных ячеек на фильтре, каждая из которых содержит 36 (в случае P1-клонотеки или клонотеки ICRF) или 20 (клонотека CSHL) космид. Положительные сигналы гибридизации видны для космид c17D4 (космода № 17 ячейки D4), c5H9, c29G4, c7D12, c7D3; c9B4, c26G10, c7H11; c7H1, c8A11, c8A12, c10B2 и c7H10 клонотеки ICRF, для космид c980 и c258 клонотеки CSHL (для этой клонотеки принята чисто цифровая нумерация космид – по двадцать, ячейка за ячейкой) и для космид p32B7, p8E10, p13F11 и p9D2 (библиотека в векторе на основе фага P1).

РНК-полимераза II *Schizosaccharomyces pombe*: субъединицы и их гены\*

Ген	Хромосома (геномный клон)	Число инtronов и их длина, п. о.	Комплексная гомология гена-гомолога в <i>S. cerevisiae</i> [13]	Субъединица	Число а. о.	Молекулярная масса		рI расч. (ExPASy)	Ссылка в GenBank (кДНК и ген)
						эксп., кДа [12]	расч., Да		
<i>rpb1<sup>+</sup></i>	II (c28F2)	6 (35 + 40 + 39 + 45 + 92 + 47)	—	Rpb1	1752	210	194 163	5.62	X56564
<i>rpb2<sup>+</sup></i>	I (c521 + c23G3)	1 (38)	—	Rpb2	1210	150	137 819	6.43	D13337
<i>rpb3<sup>+</sup></i>	III (c1442)	2 (43 + 46)	+ ( <i>ts</i> )	Rpb3	296	41	33 603	4.55	D15070
<i>rpb4<sup>+</sup></i>	II (c337)	3 (38 + 45 + 74)	+	Rpb4	135	16	15 362	4.84	<b>AF149308</b> AL031854
<i>rpb5<sup>+</sup></i>	I (c23C4)	2 (64 + 211)	+	Rpb5	210	27	23 915	9.28	<b>AF027820</b> D43785
<i>rpb6<sup>+</sup></i>	III (pGVS43, c1020)	1 (218)	+	Rpb6	142	22	15 729	4.28	<b>L00597</b>
<i>rpb7<sup>+</sup></i>	I (pYUK71)	1 (67)	+	Rpb7	172	21	19 017	5.36	<b>AF027821</b> <b>AF055916</b>
<i>rpb8<sup>+</sup></i>	II (c14C8)	2 (59 + 48)	—	Rpb8	125	16	14 300	5.66	<b>AF020780</b> <b>AF029688</b>
<i>rpb9<sup>+</sup></i>	I (pYUG7)	4 (67 + 123 + 42 + 75)	+	Rpb9	113	15	13 175	5.81	AB007988 <b>AF237418</b>
<i>rpb11<sup>+</sup></i>	I (c3A12)	2 (45 + 46)	+ ( <i>ts</i> )	Rpb11	123	15	14 128	4.93	<b>AF027822</b> Z95395
<i>rpb10<sup>+</sup></i>	I (c1B3)	2 (316 + 63)	+	Rpb10	71	11	8 276	7.60	<b>X95733</b> <b>AF027818</b>
<i>rpc10<sup>+</sup></i>	II (c19C2)	1 (53)	+	Rpc10	63	12	7 203	9.94	<b>U80217</b> <b>AF027819</b>

\* Серым цветом выделены субъединицы, общие для ядерных РНК-полимераз I–III. Клоны и номера депонирования в GenBank, выделенные жирным шрифтом, являются результатом работы нашей группы.

Gapped BLAST 2.0 [22] показали, что слева от *rpb9<sup>+</sup>* находится ген *pro3<sup>+</sup>*, кодирующий  $\Delta^1$ -пирролин-5-карбоксилат-редуктазу (P5CR; *L*-пролин: NAD(P)<sup>+</sup>-5-оксидоредуктазу; proC; КФ 1.5.1.2), фермент, осуществляющий последнюю стадию в синтезе пролина [23, 24]. Установление полной первичной структуры *pro3<sup>+</sup>* в составе pYUG7 было завершено в Сэнгеровском центре (Великобритания): показано, что  $\Delta^1$ -пирролин-5-карбоксилат-редуктаза *Sz. pombe* содержит 282 а. о. и имеет 34.5% гомологии с ортологичным белком из *Saccharomyces cerevisiae* (рис. 3).

С другой стороны от *rpb9<sup>+</sup>* расположен гипотетический ген, способный кодировать полипептид длиной более 700 а. о. На основе обнаруженной нами гомологии, правда, весьма отдаленной, с белками Dmf1/Mid1 *Sz. pombe* (белок, необходимый для правильного расположения септы-перегородки при клеточном делении) [25], Int1 *Candida*

*albicans* (интегринподобный белок) [26] и AGA1 *S. cerevisiae* (кбрювая субъединица  $\alpha$ -агглютинина) [27] можно предположить, что белок, кодируемый обсуждаемым геном, является гликопротеидом.

#### Другие гены *Sz. pombe* в составе геномного клона pYUG7

Мы также структурно охарактеризовали концевые части вставки ДНК *Sz. pombe* в плазмиде pYUG7 (рис. 1). В секвенированной области I обнаружен ген, способный кодировать гипотетический белок, который, по-видимому, присутствует также у всех высших эукариот-метазоев (у *Arabidopsis thaliana*, *Caenorhabditis elegans* и *Homo sapiens* обнаружены даже соответствующие мРНК или ESTs (экспрессирующиеся последовательности), но отсутствует в протеоме *S. cerevisiae*

Sp:	1	MSGFCVLGCGTMKGKALLTGIFDSIAENGNDVSDEIIIPNKFYACVKFPKEKEDVQKLFG-----	59
		+LGCG MG+ALL+ I++ A D + P+K C + V L	
Sc:	1	MTYTLAILGCGVMGQALLSAIYN--APKAADETAAAFYPSKIITCNHDEPSAQVTDLVETFDESP	64
Sp:	60	DRVKVVMGAKENAEMAAISNVLLSCKPQAAEDVLSNPKMKEALKGKLILSILAGKTISS	119
		+ +KV N ++V+LL KP AE+VLN +K + GKL++S+ AG TI	
Sc:	65	NGIKVESTYGHNVSAVEEASVVLLGTPFLAEEVLNG--VKSVIGGKLLISLAAGWTIDQ	122
Sp:	120	LQSMLDESTRVIRIMPNTASRIRESMSVICPGPNATEEDIKFAEWVFNGIGRSMKLPEKL	179
		L ++ V R+M NT ++ +V+ + ++E + + +G+ ++LPEK	
Sc:	123	LSQY---TSTVCRVMTNTPAKYGYGCAVVSYSADVSKEQKPLVNELISQVGKYVELPEKN	179
Sp:	180	IDAATAVCGSGPAFVATMIEAMTDGGVMMGIPFPQAQELAAQTMVGTGRMV-LQGQHPAM	238
		+DAATA+ GSGPAFV M+E++ + G+ +GIP +++E A + + GT +MV G HP++	
Sc:	180	MDAATALVGSGPAFVLLMLESGLKLGIPQESKECAMKVLEGTVKMVEKSGAHPHV	239
Sp:	239	IRNDVSTPAGCTISGLLALEDGKIRSTIARGIEQATKTASGLGK	282
		+++ V TP G TI+GL +E+ ++S I G+E+A + AS LG+	
Sc:	240	LKHQVCTPGGTTIAGLCVMEKGVKSGTINGVEEARVASQLGQKKK	286

**Рис. 3.** Сравнение аминокислотной последовательности продукта гена *pro3<sup>+</sup>* *Sz. pombe* (Sp) с первичной структурой  $\Delta^1$ -пирролин-5-карбоксилат-редуктазы (КФ 1.5.1.2) *S. cerevisiae* [24] (Sc); здесь и ниже – программа Advanced Gapped BLAST 2.0 [22].

(рис. 4). Именно поэтому, хотя предсказать точную функцию этого гена на данный момент вряд ли возможно, он несомненно будет интересным объектом изучения у *Sz. pombe* – как (и прежде всего) в плане сравнительной геномики делящихся и почкающих дрожжей, так и с целью выяснения его роли у многоклеточных организмов. В связи с последним интересно, что совсем недавно китайские ученые показали, что одна из форм мРНК гомолога этого гена (вероятно, продукт альтернативного сплайсинга, см. рис. 4) накапливается в клетках линии NB4 (полученных от больного с острой промиелоцитарной лейкемией) при их апоптозе (номер депонирования в GenBank AF229834). Следуя названию человеческого гена, предложенному китайской группой, мы назвали обнаруженный ген *Sz. pombe hag1<sup>+</sup>* (*homologue of apoptosis-related gene*). Как показано на рис. 4, структурное сходство проявляют только первые две трети аминокислотных последовательностей белков-гомологов из разных организмов. Множественные формы обсуждаемого белка, возможно имеющего отношение к апоптозу, присутствуют не только в клетках человека, но и у двудольного растения *Arabidopsis thaliana*, где сходные дуплицированные гены, по-видимому, представлены на каждой из пяти хромосом.

Два гена делящихся дрожжей, *sin1<sup>+</sup>* и *tfa1<sup>+</sup>*, идентифицированы нами в правой части вставки

в составе области III (рис. 1). Ген *sin1<sup>+</sup>* был описан ранее в работе [29], но его положение на хромосомной карте *Sz. pombe* не было установлено. По данным этой работы, *Sin1* (SAPK /Stress Activated MAP Kinase/ interacting protein) оказался членом эволюционно консервативного семейства белков, участвующих у эукариот в SAPK-пути передачи сигнала при регуляции транскрипции в условиях стресса. Было показано, что *Sin1 Sz. pombe* также абсолютно необходим для инициации процессов половой дифференцировки и конъюгации [29].

*На хромосоме I Sz. pombe* расположен ген *tfa1<sup>+</sup>*, кодирующий  $\alpha$ -субъединицу общего фактора инициации транскрипции TFIIЕ

Другой, и самой интересной для нас находкой в области III геномного клона pYUG7 оказался впервые обнаруженный в составе генома *Sz. pombe* ген, кодирующий одну (большую, или  $\alpha$ -) из субъединиц общего фактора транскрипции TFIIЕ [30] (52% гомологии с соответствующим белком *S. cerevisiae*). По современным представлениям, фактор TFIIЕ присоединяется к преинициаторному комплексу после факторов TFIID, TFIIA, TFIIB, РНК-полимеразы II и TFIIF, образуя стабильный комплекс с ДНК [8]. Именно TFIIЕ вовлекает в преинициаторный комплекс транскрипции другой общий фактор инициации, TFIIH, модулируя при этом его геликазную, АТР-азную и киназную

AtII:	1	MLCFKGSVKRKQSGSVPVYLNVYDL---TPMNAYGYWLGLGVFHSGVEVHGVEYAFGAHESS-STGI	64
		MLCRKNS G+VPVYLNVYDL---TP+N+Y+YWLGLCV+HSGVEVHG+EYA+GAHE STGI	
AtI:	1	MLCRKNSSLV--DRGNVPVYLNVYDL---TPINGYAYWLGLCVYHSGVEVHGIEYAYGAHEYP-STGI	62
		VY+NVYDL +P+N A+LGLG+YH+G+ +G EYA+GAHE P STG+	
Sp:	1	MKVYINVYDLMSPVNKLAWTLGLCIVHTGLVLEGKEYAFGAHEIPGSTCV	52
		V +NVYD+ +N+ ++G+Q++H+G+ +G+E+A+G H P S G+	
Hs (CGI-146):	1	MGANQLVVLNVYDMYW---MNEYTSSIGIGGVFHSGLIEVYGR	52
		MGANQLVVLNVYDMYW---MNEYTSSIGIGGVFHSGLIEVYGR	
Hs (PNAS-4):	1	MGANQLVVLNVYDMYW---MNEYTSSIGIGGVFHSGLIEVYGR-----	38
AtII:	65	FEVEPKK-CP---GFTFRKSILVGKTDLVAKEVRVFMEKLAEEYQGNKYHLITRNCNHF CNEVCLKIA	128
		FE EPK+ C GFTFRKSIL+GKTDL EVR ME+LA+ Y+C+ Y LIT+NCNHF C+E C+KL	
AtI:	63	FEGEPKQ-CE---GFTFRKSILIGKTDLGPLEVRATMEQLADNYKGSSYNLITKNCNHF CDETCIKLT	126
		F P+ E G +R SI + L +V + +L+ +G SY+L+ +NCNHF + I+LT	
Sp:	53	FATMPRPPLLE---GCRWRCSIALPNCTLPKPDVDRILIRSQEFTCLSYSLERNCNHF TNAAAIELT	117
		F P E +++ +L + +D+++I+ L +E+ S +Y L+ +NCNHF +A + I	
Hs:	53	FEISPGNASELGETFKFKEAVVLGSTDFFLEDDIEKIVEELGKEYKONA YHLMHKNCNHFESSALSEILC	120
		AVVLGSTDFFLEDDIEKIVEELGKEYKONA YHLMHKNCNHFESSALSEILC	
Hs:	39	-----AVVLGSTDFFLEDDIEKIVEELGKEYKONA YHLMHKNCNHFESSALSEILC	87
AtII:	129	QKSIPRWVNRLARLGVLCNCVLPPR 153 .. 231	
		TPSWVNRLAR+G + +	
AtI:	127	GNPIPS RWVNRLARIGKFSGFMNCV 151 .. 240	
		G+PIPS++NR++RIG N	
Sp:	118	GSPIPSFLNRISRIGLAGFTITNAL 142 .. 201	
		G IP ++NR++ P - + L	
Hs:	121	GKEIPRWINRLAYFSSCIPFLQSCL 145 .. 193	
		GKEIPRWINRLAYFSSCIPFLQSCL	
Hs:	88	GKEIPRWINRLAYFSSCIPFLQSCL 112 .. 161	

**Рис. 4.** Сравнение аминокислотной последовательности продукта гена *hag1<sup>+</sup>* *Sz. pombe* с первичной структурой гомологичных гипотетических белков, кодируемых генами на хромосомах I и II двудольного растения *Arabidopsis thaliana* (AtI и AtII [28]), а также с продуктами трансляции CGI-146 и PNAS-4 (номера депонирования в GenBank соответственно AF151904 и AF229834) двух полноразмерных мРНК человека (Hs), более короткая из которых (PNAS-4) отвечает за синтез белка, по-видимому, участвующего в процессе апоптоза культуры клеток линии NB4. Серым цветом выделены аминокислотные остатки, идентичные во всех последовательностях. Приведены только гомологичные участки первичных структур обсуждаемых белков.

активности. Не исключается также прямое участие TFIIЕ в плавлении промоторного участка ДНК [5].

В соответствии с обозначением ортологичного гена *S. cerevisiae* [31] обнаруженный нами ген *Sz. pombe* назван *tfa1<sup>+</sup>* (transcription factor a). Геномная и частичная кДНК-последовательности гена *tfa2<sup>+</sup>*, кодирующего другую субъединицу ( $\beta$ -) фактора TFIIЕ *Sz. pombe*, были ранее депонированы в EMBL/DDBJ/GenBank другими авторами соответственно под номерами AL031324 и AB000475. В настоящее время мы клонируем полноразмерную кДНК гена *tfa1<sup>+</sup>*, что позволит подтвердить предсказанную с помощью компьютерной обработки геномной последовательности экзон-инtronную структуру этого гена (см. рис. 1 и GenBank AF237419). Хотя принципы структурной организации и функциональной регуляции генома

эукариот все еще недостаточно изучены, обнаруженненная нами в данной работе близость расположения генов *rpb9<sup>+</sup>* и *tfa1<sup>+</sup>*, участвующих в инициации процесса синтеза мРНК [8, 32], может указывать на определенную координацию их экспрессии.

## ЭКСПЕРИМЕНТАЛЬНАЯ ЧАСТЬ

**Приготовление бактериальных клеток, комплементарных для электропорации.** LB-бульон (100 мл) засевали 1 мл ночной культуры клеток *Escherichia coli* TG1 (*supE44, thi, Δ[lac; pro], hsdΔ5, strA, endA, F[traD36, proAB<sup>+</sup>, lacZΔM15]*). Клетки выращивали при 37°C с аэрацией до ранней или средней логарифмической фазы. Биомассу охлаждали во льду 15–30 мин, центрифугировали в холодном роторе 10 мин при 2400 об/мин (центрифуга

K-80, СССР). Клетки суспендировали последовательно в 100, 50, 2 мл и в конечном объеме 300 мкл охлажденного во льду стерильного 10% глицерина, каждый раз центрифугируя при том же режиме и тщательно удаляя супернатант. Суспензию клеток расфасовывали по 50 мкл, замораживали и хранили при  $-70^{\circ}\text{C}$ .

**Трансформацию компетентных клеток бактерий плазмидной ДНК** проводили путем электропорации на приборе Gene Pulser фирмы "Bio-Rad" (США) с использованием аппарата Pulse Controller той же фирмы для точного дозирования пульса (для точной установки параметров электрического импульса). Замороженную суспензию подготовленных для электропорации клеток (50 мкл) размораживали на ледяной бане и добавляли 1–1.5 мкл раствора ДНК в TE-буфере (10 мМ Трис-HCl, pH 7.6, 1 мМ EDTA) с концентрацией 0.5 мкг/мкл. Электропорационную кювету (расстояние между электродами 2 мм) охлаждали во льду и, перенеся в нее смесь клеток для электропорации и ДНК, подвергали воздействию экспоненциально убывающего электрического поля с высоким начальным значением напряженности (параметры электротрансформации: емкость разряжаемого конденсатора 25  $\mu\text{F}$ , сопротивление шунтирующего резистора 200 Ом, начальное значение напряжения на конденсаторе 2.5 кВ). При этом время релаксации  $\tau$  составляло, как правило, 4.5–4.7 мс. После этого к клеткам сразу же добавляли 1 мл LB-бульона (1% бакто-триптон, 0.5% дрожжевой экстракт, 0.5% хлорид натрия), клетки переносили в пробирку Eppendorf и инкубировали при  $37^{\circ}\text{C}$  в течение 1 ч. Затем по 50 мкл суспензии клеток рассевали на селективные чашки с LB-агаром (LB-бульон с 1.5% агаром).

**Проецирование геномной клонотеки *Sz. pombe*,** сконструированной на основе членочного вектора pHL10 [14], осуществляли с помощью ПЦР по методу последовательных разведений клонотек [15, 16] с использованием праймеров oGVS350 (5') CGGGATCCTTAAATGTCAAATTTC и oGVS351 (5') CCGAATTCTCGCATATTACTG, специфических для гена *rpb9<sup>+</sup>* (подчеркнуты участки узнавания рестриктаз *Bam*H I и *Eco*RI, введенные для удобства клонирования продуктов ПЦР). ДНК первичного разведения A7 геномной клонотеки, давшего положительный сигнал при ПЦР с приведенными выше праймерами, трансформировали с помощью электропорации в клетки *E. coli* штамма TG-1. Искомый клон pYUG7 был получен после трех раундов разведений полученного после электропорации рассева колоний (клон A7-1-7-7).

**Делекционные производные клона pYUG7** (плазмиды pYUG7/KpnI и pYUG7/PstI) были полу-

чены путем расщепления ДНК pYUG7 соответствующим ферментом рестрикции, отделения малого фрагмента и последующего лигирования оставшегося большого фрагмента исходной плазмиды, содержащего всю ее векторную часть (см. рис. 1).

**Приготовление радиоактивно меченного зонда.** *Eco*RI-фрагменты плазмиды pYUG7, содержащие вставку ДНК *Sz. pombe* (1.0–2.8 т. п. н.), отделяли от более крупного векторного фрагмента (12.4 т. п. н.) с помощью электрофореза в 0.8% агарозном геле, выделяли по методу прямой элюции ДНК [33] и липкие *Eco*RI-концы достраивали с помощью фрагмента Кленова ДНК-полимеразы I *E. coli* и [ $\alpha$ - $^{32}\text{P}$ ]dATP (синтезирована в изотопном блоке ИБХ РАН).

**Гибридизацию на фильтрах высокой плотности** всех трех космидных клонотек *Sz. pombe* (предоставлены Риан Гвильям, Сэнгеровский центр, г. Хинкстон, Великобритания) осуществляли в одинаковых условиях, основываясь на методике гибридизации в водном растворе [34]. Предгибридизацию фильтров проводили при  $65^{\circ}\text{C}$  в течение 1 ч в растворе следующего состава: 1% BSA (фракция V), 1 мМ EDTA, 0.5 М Na-фосфат, pH 7.2, 7% SDS. К смеси радиоактивно меченых зондов (~2–3 мкг) добавляли 2 мг обработанной ультразвуком ДНК сельди (Serva, Германия, 1 мг/мл) и кипятили 10 мин, после чего полученную пробу разбавили 2 мл упомянутого выше раствора для гибридизации. Гибридизацию проводили в течение ночи при  $65^{\circ}\text{C}$ . Фильтры дважды быстро промывали следующим раствором: 0.5% BSA, 1 мМ Na<sub>2</sub>EDTA, 40 мМ Na-фосфат, pH 7.2, 5% SDS при комнатной температуре; для более жесткой промывки при  $65^{\circ}\text{C}$  (дважды быстро и один раз в течение 20 мин) использовали тот же раствор, но с 1% SDS. После просушки при комнатной температуре фильтры экспонировали с рентгеновской пленкой Kodak Biomax MR с усиливающим экраном в течение 1 сут.

**ДНК секвенировали** по методу Сэнгера [35] с использованием как радиоактивной ( $[\alpha$ - $^{32}\text{P}$ ]dATP, синтезирована в изотопном блоке ИБХ РАН; для секвенирования использовали прибор Macrophor фирмы LKB, Швеция), так и флуоресцентных меток (секвенирование проводили на приборе ABI-Prism Genetic Analyzer, Model 373 фирмы Applied Biosystems (США) в Институте генетики и молекулярной и клеточной биологии (IGBMC), Страсбург, Франция). С помощью радиоактивной метки были секвенированы концевые фрагменты плазмид pYUG7, pYUG7/PstI и pYUG7/KpnI (по 400–500 нт в каждом случае).

**Компьютерную обработку нуклеотидных последовательностей ДНК** осуществляли с помощью программы DNA Strider [21] на компьютере

Macintosh Quadra 610 (фирма Apple, США), для их сравнения с базами данных GenBank/EMBL и SwissProt использовали пакет программ BLAST сервера <http://www.ncbi.nlm.nih.gov> [22].

Установленные в данной работе геномные последовательности *Sz. pombe* из плазиды pYUG7 депонированы в GenBank под номерами AF237418, AF237419 и AF237420.

Авторы благодарны Р.Г. Гвилем за предоставленные фильтры космидных клонотек *Sz. pombe*, А.Л. Каюшину за синтез олигонуклеотидных праймеров и Е.Н. Лебеденко за ценные замечания по тексту статьи.

Настоящая работа поддержанна грантом Государственной научно-технической программы "Новые методы биоинженерии" (направление "Генная инженерия и трансгеноз").

## СПИСОК ЛИТЕРАТУРЫ

- Thuriaux P., Sentenac A. // The Molecular and Cellular Biology of the Yeast Saccharomyces: Gene Expression / Eds J.R. Broach, J.R. Pringle, E.W. Jones. Cold Spring Harbor, N.Y.; Cold Spring Harbor Laboratory Press, 1992. V. II. P. 1–48.
- Woychik N.A., Young R.A. // Transcription Mechanisms and Regulation / Eds R.C. Conaway, J.W. Conaway. N.Y.: Raven Press, 1994. P. 227–242.
- Schaller S., Grandemange S., Shpakovski G.V., Golemis E.A., Kedinger C., Vigneron M. // FEBS Lett. 1999. V. 461. P. 253–257.
- Hernandez N. // Genes Dev. 1993. V. 7. P. 1291–1308.
- Roeder R.G. // Trends Biochem. Sci. 1996. V. 21. P. 327–335.
- Ozer J., Moore P.A., Lieberman P.M. // J. Biol. Chem. 2000. V. 275. P. 122–128.
- Ren D., Lei L., Burton Z.F. // Mol. Cell. Biol. 1999. V. 19. P. 7377–7387.
- Orphanides G., Lagrange T., Reinberg D. // Genes Dev. 1996. V. 10. P. 2657–2683.
- Шпаковский Г.В., Лебеденко Е.Н. // Биоорганическая химия. 1997. Т. 23. С. 988–991.
- Sakurai H., Kimura M., Ishihama A. // Gene. 1998. V. 221. P. 11–16.
- Шпаковский Г.В., Баранова Г.М. // Биоорганическая химия. 1999. Т. 25. С. 938–942.
- Sakurai H., Mitsuzawa H., Kimura M., Ishihama A. // Mol. Cell. Biol. 1999. V. 19. P. 7511–7518.
- Shpakovski G.V., Gadot O., Labarre-Mariotte S., Lebedenko E.N., Miklos I., Sakurai H., Proshkin S.A., van Mullem V., Ishihama A., Thuriaux P. // J. Mol. Biol. 2000. V. 295. P. 1119–1127.
- Weaver D.C., Shpakovski G.V., Caputo E., Levin H.L., Boeke J.D. // Gene. 1993. V. 131. P. 135–139.
- Shpakovski G.V. // Gene. 1994. V. 147. P. 63–69.
- Шпаковский Г.В., Лебеденко Е.Н., Тюрько П. // Биоорганическая химия. 1997. Т. 23. С. 110–117.
- Hoheisel J.D., Maier E., Mott R., McCarthy L., Grigoriev A.V., Schalkwyk L.C., Nizetic D., Francis F., Lehrach H. // Cell. 1993. V. 73. P. 109–120.
- Mizukami T., Chang W.I., Garkavtsev I., Kaplan N., Lombardi D., Matsumoto T., Niwa O., Kounosu A., Yanagida T., Marr T.G., Beach D. // Cell. 1993. V. 73. P. 121–132.
- Шпаковский Г.В., Баранова Г.М., Вуд В., Гвильям Р.Г., Шематорова Е.К., Корольчук О.Л., Лебеденко Е.Н. // Биоорганическая химия. 1997. Т. 25. С. 450–463.
- Shpakovski G.V., Shematorova E.K. // Curr. Genet. 1999. V. 36. P. 208–214.
- Marck C. // Nucl. Acids Res. 1988. V. 16. P. 1829–1836.
- Altschul S.F., Madden T.L., Schaffer A.A., Zhang J., Zhang Z., Miller W., Lipman D. // Nucl. Acids Res. 1997. V. 25. P. 3389–3402.
- Kelly R., Register E. // Gene. 1996. V. 172. P. 149–153.
- Brandriss M.C., Falvey D.A. // J. Bacteriol. 1992. V. 174. P. 3782–3788.
- Sohrmann M., Fankhauser C., Brodbeck C., Simanis V. // Genes Dev. 1996. V. 10. P. 2707–2719.
- Gale C., Finkel D., Tao N., Meinke M., McClellan M., Olson J., Kendrick K., Hostetter M. // Proc. Natl. Acad. Sci. USA. 1996. V. 93. P. 357–361.
- Roy A., Lu C.F., Marykwas D.L., Lipke P.N., Kurjan J. // Mol. Cell. Biol. 1991. V. 11. P. 4196–4206.
- Lin X., Kaul S., Rounsley S.D., Shea T.P., Benito M.-I. et al. // Nature. 1999. V. 402. P. 761–768.
- Wilkinson M.G., Pino T.S., Tournier S., Buck V., Martin H., Christiansen J., Wilkinson D., Millar J.B.A. // EMBO J. 1999. V. 18. P. 4210–4221.
- Peterson M.G., Inostroza J., Maxon M.E., Flores O., Admon A., Reinberg D., Tjian R. // Nature. 1991. V. 354. P. 369–373.
- Feaver W.J., Henry N.L., Bushnell D.A., Sayre M.H., Brickner J.H., Gileadi O., Kornberg R.D. // J. Biol. Chem. 1994. V. 269. P. 27549–27553.
- Hull M.W., McKune K., Woychik N.A. // Genes Dev. 1995. V. 9. P. 481–490.
- Hansen H., Lemke H., Bodner U. // BioTechniques. 1993. V. 14. P. 28–30.
- Ausubel F.M., Brent R., Kingston R.E., Moore D.D., Seidman J.G., Smith J.A., Struhl K. Current Protocols in Molecular Biology. Boston: John Wiley and Sons, 1995.
- Murphy G., Ward E.S. // Nucleic Acids Sequencing. A Practical Approach / Eds C.J. Howe, E.S. Ward. Oxford; New York; Tokyo: IRL Press, 1989. P. 99–115.

# Chromosomal Localization of the *rpb9<sup>+</sup>* and *tfa1<sup>+</sup>* Genes Encoding Components of the mRNA Synthesis Machinery of *Schizosaccharomyces pombe*

G. V. Shpakovskii<sup>#</sup> and G. M. Baranova

Shemyakin-Ovchinnikov Institute of Bioorganic Chemistry, Russian Academy of Sciences,  
ul. Miklukho-Maklaya 16/10, GSP-7 Moscow, 117871 Russia

Using DNA hybridization on cosmid filters of high density, we established chromosomal localization of the *rpb9<sup>+</sup>* gene encoding one of the specific subunits of RNA polymerase II of *Schizosaccharomyces pombe* and thus filled in the last gap in the mapping of the genes encoding components of RNA polymerase II of the fission yeast. The primary structure of three extended regions of the *Sz. pombe* chromosome I was elucidated and, as a result, genes neighboring on *rpb9<sup>+</sup>* were identified. One of them proved to be the *tfa1<sup>+</sup>* gene, encoding the large ( $\alpha$ ) subunit of the general factor of transcription initiation TFIIE.

**Key words:** fission yeast; chromosome I; *rpb9<sup>+</sup>*, *tfa1<sup>+</sup>*, *pro3<sup>+</sup>*, *hag1<sup>+</sup>*, and *sin1<sup>+</sup>* genes; subunit Rpb9; RNA polymerase II; general transcription factor TFIIE

<sup>#</sup> To whom correspondence should be addressed; phone: +7 (095) 330-6583; fax: +7 (095) 335-7103;  
e-mail: gvs@ibch.ru.

For the full text of English translation of this article, see *Russian Journal of Bioorganic Chemistry*, 2000, vol. 26, no. 8. It is also available (free) in PDF format through the Web Site <http://www.maik.rssi.ru/>.